



## Le potentiel des technologies plastroniques pour le transfert d'énergie sans fil inductif omnidirectionnel

<u>S. Kamotesov</u><sup>1,2</sup>, P. Lombard<sup>2</sup>, V. Semet<sup>2</sup>, B. Allard<sup>2</sup>, A. Veille<sup>1</sup>, M. Moguedet<sup>1</sup>, M. Cabrera<sup>2</sup>

- (1) Smart Plastic Products (S2P), 5 Rue Pierre et Marie CURIE, Belignat BP 21107, 01111 Oyonnax Cedex, France,
- (2) Laboratoire Ampere UMR 5005 CNRS ECL INSA UCB, 20, avenue Albert Einstein 69621 Villeurbanne cedex France

Contact: Michel Cabrera

Laboratoire Ampere

michel.cabrera@insa-lyon.fr

Maël Moguedet

Smart Plastic Products S2P mael.moguedet@s-2p.com

Mecatronic/Plastronic Connection 2018





## Sommaire



- 1. Présentation de S2P et du laboratoire Ampère
- 2. Introduction & Motivation
- 3. Principe expérimental
- 4. Montage expérimental
- 5. Résultats
- 6. Conclusion



## 1. Présentation de S2P et du laboratoire Ampère



#### **SMART PLASTIC PRODUCTS – S2P**

- Société situé à Oyonnax au cœur de la « French plastic-valley »
- Spin off de IPC, le centre technique de l'industrie plastique
- Spécialiste dans la miniaturisation électronique avec la plastronique et la technologie 3D Molded Interconnect Devices technology (3D-MID)
- LDS et 2K-molding
- Marchés: aérospatial, défense, sécurité, médical, industrie
- Fonctions: antennes 3D, capteurs 3D, interconnexion 3D, LED, antiintrusion,...
- Fondée en 2014
- 10 employées



#### Laboratoire Ampère

- Laboratoire de recherche situé à Lyon, rattaché au CNRS et 3 grandes écoles (ECL INSA UCBL)
- Matériaux du Génie électrique, Électronique de puissance, Haute-tension, Compatibilité électromagnétique, Modélisation électromagnétique, Systèmes de stockage de l'énergie électrique, Contrôle-commande, Mécatronique, Plastronique 3D, Fluid power, Robotique médicale, Diagnostic et sûreté de fonctionnement, Transferts de gènes et adaptation bactérienne, Ingénierie écologique
- Fondé en 2007
- Plus de 180 Chercheurs (50% Doctorant et postdoc)



## 2. Introduction & Motivation

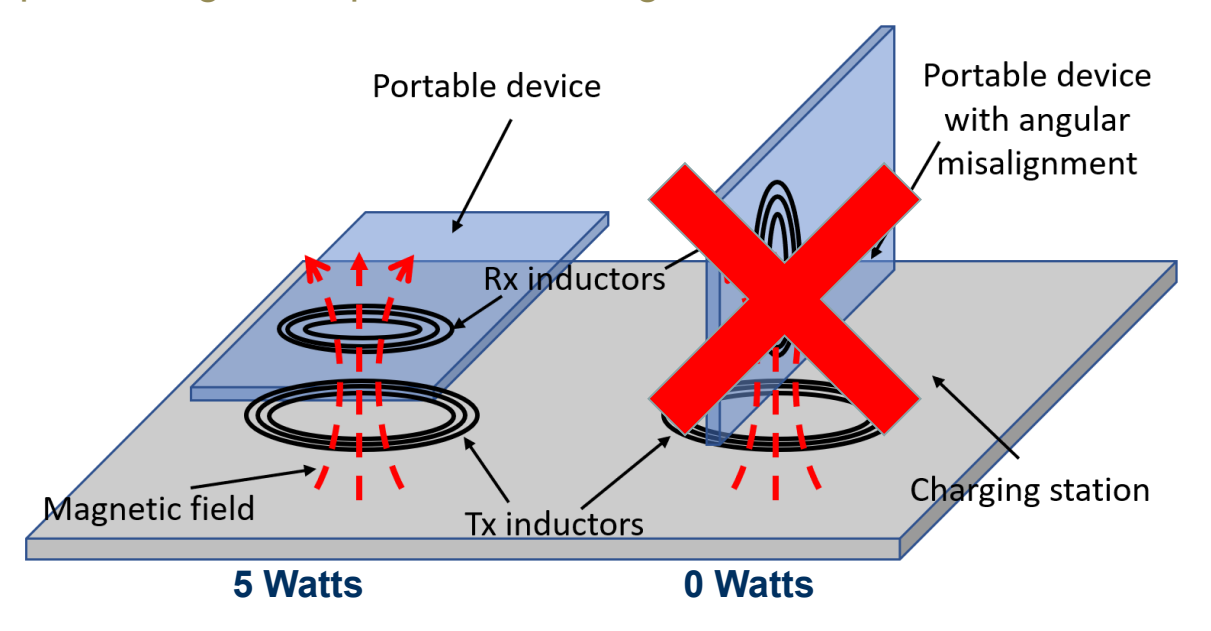


## Transfert d'Energie Sans Fil (TESF) - Wireless Power transfer (WPT)

- Transfert d'énergie d'un émetteur vers un récepteur par induction magnétique
- Nécessite 2 inductances (1 émettrice 1 réceptrice)
- Pas de câble = pratique, facile à utiliser, immunisé à l'eau, durée de vie augmenté et chargeur universel (standard Qi)
- Principalement utilisé pour les technologies portables (smartphones, montres connectées, etc.), robots, l'électroménager et la recharge de véhicule
- ➤ Nécessite un bon alignement → Récepteur limité en mouvement
- Le design 3D du récepteur peut corriger ces problèmes d'alignements



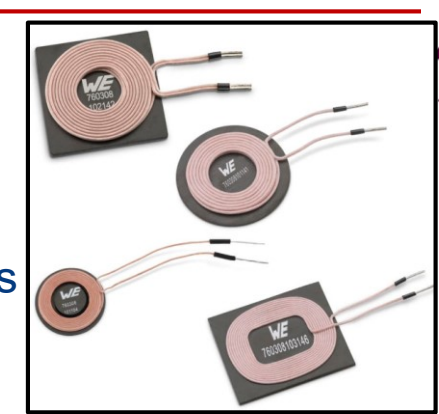




## 2. Introduction & Motivation

#### **Etat actuel du TESF par induction:**

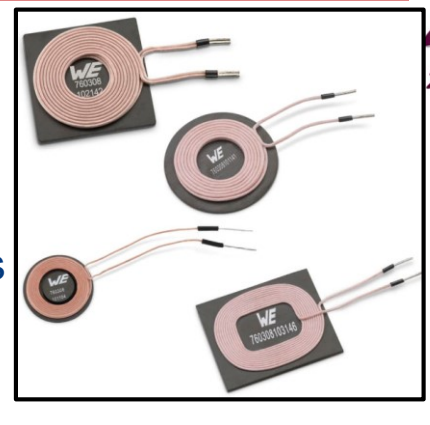
- Inductance en standard Qi → Lourd + encombrant
- Mouvements limité à cause du problème d'alignement
- Inductance 3D difficile à fabriquer avec les technologies standards



## Idée: Récepteur omnidirectionnel d'énergie inductive de petite taille en technologie 3D-MID

- Liberté de mouvement augmenté avec un design 3D des inductances
- Facile à fabriquer avec la technologie 3D-MID
- Récepteur miniaturisé pour augmenter la liberté mouvement au prix d'un rendement plus faible
- Utilisation: Mini robots, capteurs mobiles (monitoring animalier & humain, machines mobiles), automatisation industriel, applications médicales (implants, cœur artificiel)...
- Nécessite des inductances de forme 3D ayant un facteur de qualité élevé









## 2. Introduction & Motivation



#### Travaux précédents sur les inductances en 3D-MID:

- Capteur de proximité inductif 3D
- Fabriqué avec le procédé habituel 3D-MID : LDS + cuivre chimique + électrodéposition de cuivre + étain chimique à froid
- 100 µm de cuivre avec une conductivité proche du cuivre brut
- Inductances 3D avec facteur de qualité élevé Q>100 dans la plage fréquentielle de 1 MHz à 100 MHz



Kamotesov Sergkei, and al. "Modelization and characterization of 2D and 3D mid inductors for multidirectional inductive proximity sensing." *Molded Interconnect Devices (MID)*, 2016 12th International Congress. IEEE, 2016.



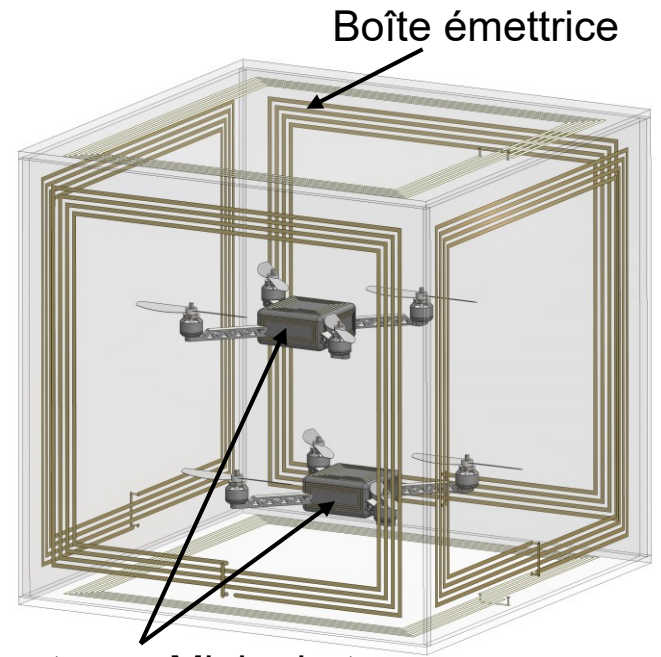
## 3. Principe expérimental

# Ampère

#### Cas d'étude:

- Boîte émettrice 3D avec des inductances résonante sur chaque côté
- Récepteurs 3D miniaturisés avec des inductances 3D-MID omnidirectionnels
- Utilisation directe de la puissance sans élément de stockage
- Insensible à la rotation et au désalignement
- Induction résonante à 6,78 MHz

Questions: Performance? Distance de transmission? Dépendance au désalignement?



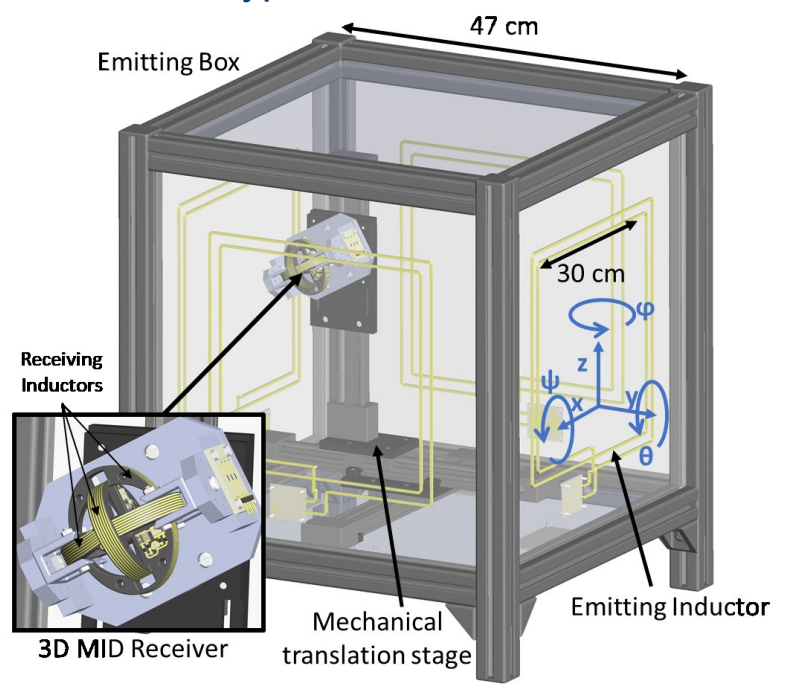
Récepteurs: Mini robots avec des inductances en 3D-MID

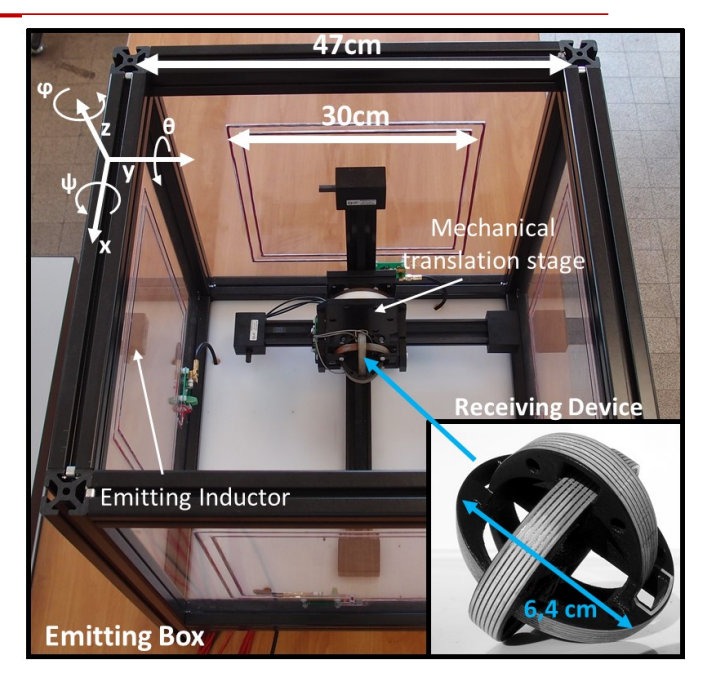


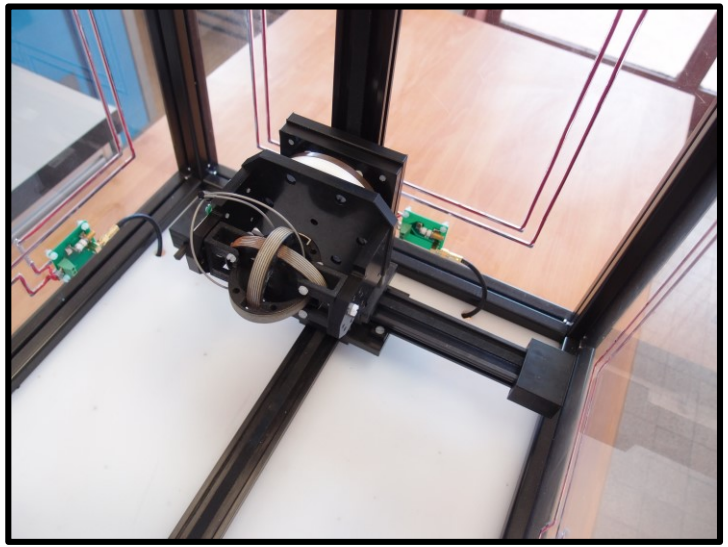
## 4. Montage expérimental

#### **Boîte émettrice:**

- Boite de taille 0,5×0,5×0,5 m³
- Translation XYZθΨ et châssis entièrement polymère
- 4 inductances émettrices (L=4,4µH et Q=120)
  filaires de 30 cm sur chaque côté de la boîte
- 4 onduleurs type class D travaillant à 6,78 MHz





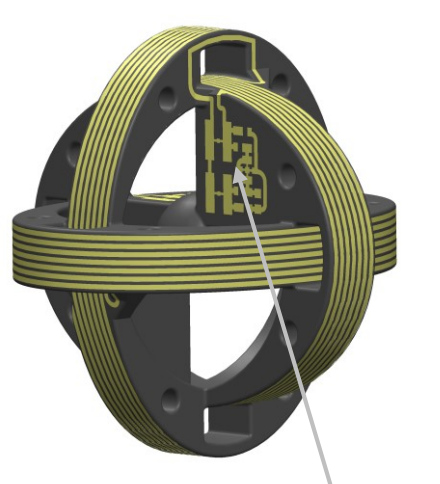


## 4. Montage expérimental

#### Récepteurs 3D-MID:

- 3 inductances (L=5,7 µH, Q=130) résonantes et elliptiques de 6,4cm×5,2cm sur chaque côté
- Procédé de fabrication 3D-MID + électrodéposition de cuivre jusqu'à 100µm
- Capacité d'accordement pour les 6,78 MHz, circuit de redressement and charge de 68 Ω

4×TX

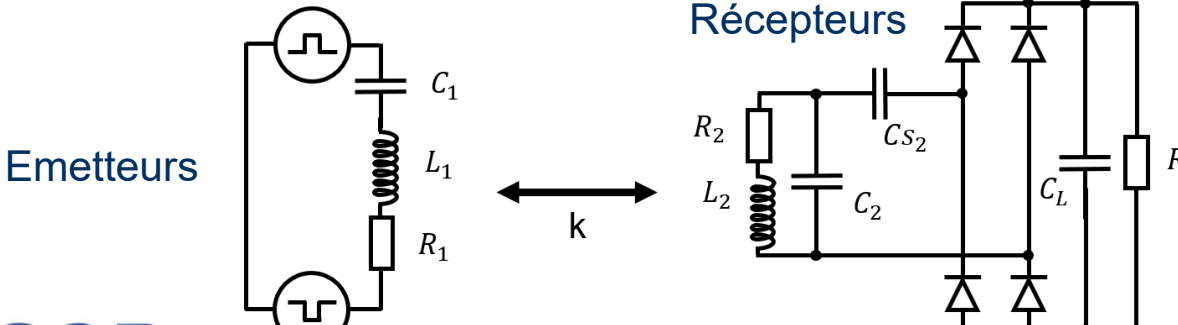




Capacités et circuit de redressement

3×RX

Inductances réceptrice

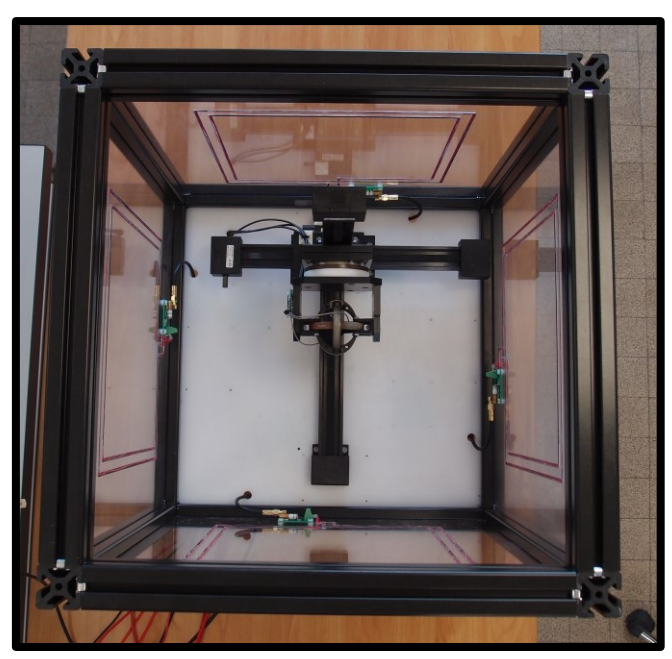


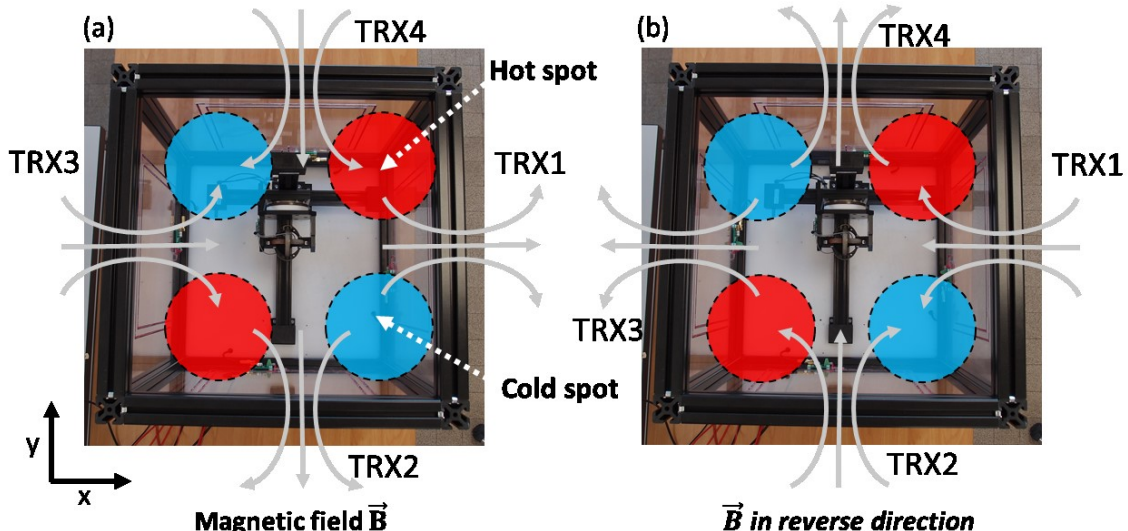
## 4. Montage expérimental



#### Orientation du champ magnétique:

- Champs magnétiques couplées par 2
- Champs magnétiques constructifs → 2 points chauds
- Champs magnétiques opposés → 2 points froids





Vu du dessus de la boîte



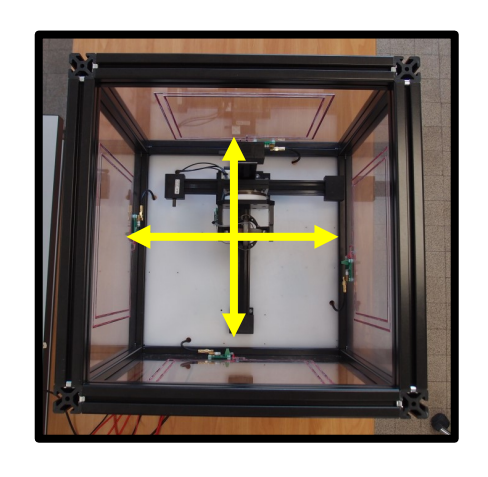
Vu du dessus de l'orientation du champ magnétique pendant la première (a) et seconde (b) demi-période du sinus

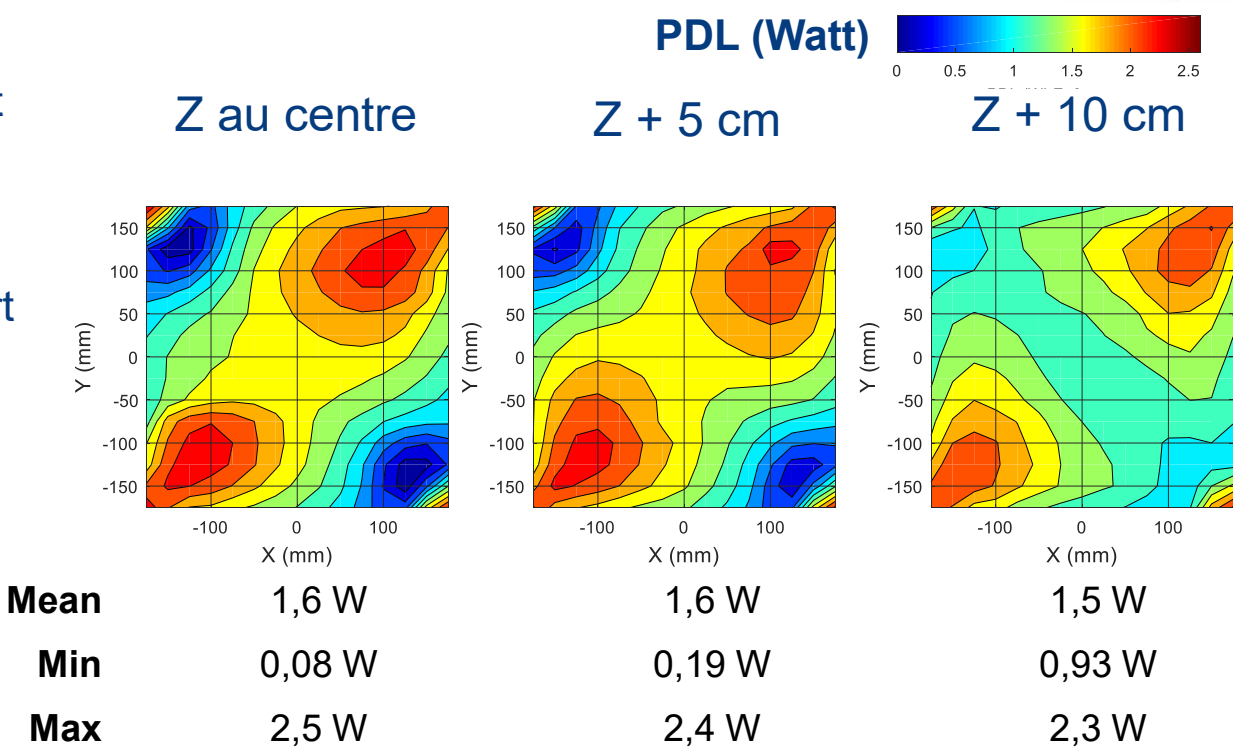
## 5. Résultats



## Mesure de la Power Delivery to Load (PDL):

- PDL après redressement mesuré à différentes position verticales
- Quasiment 1,6 Watt de puissance sur la plus part des position
- Points chauds et froids





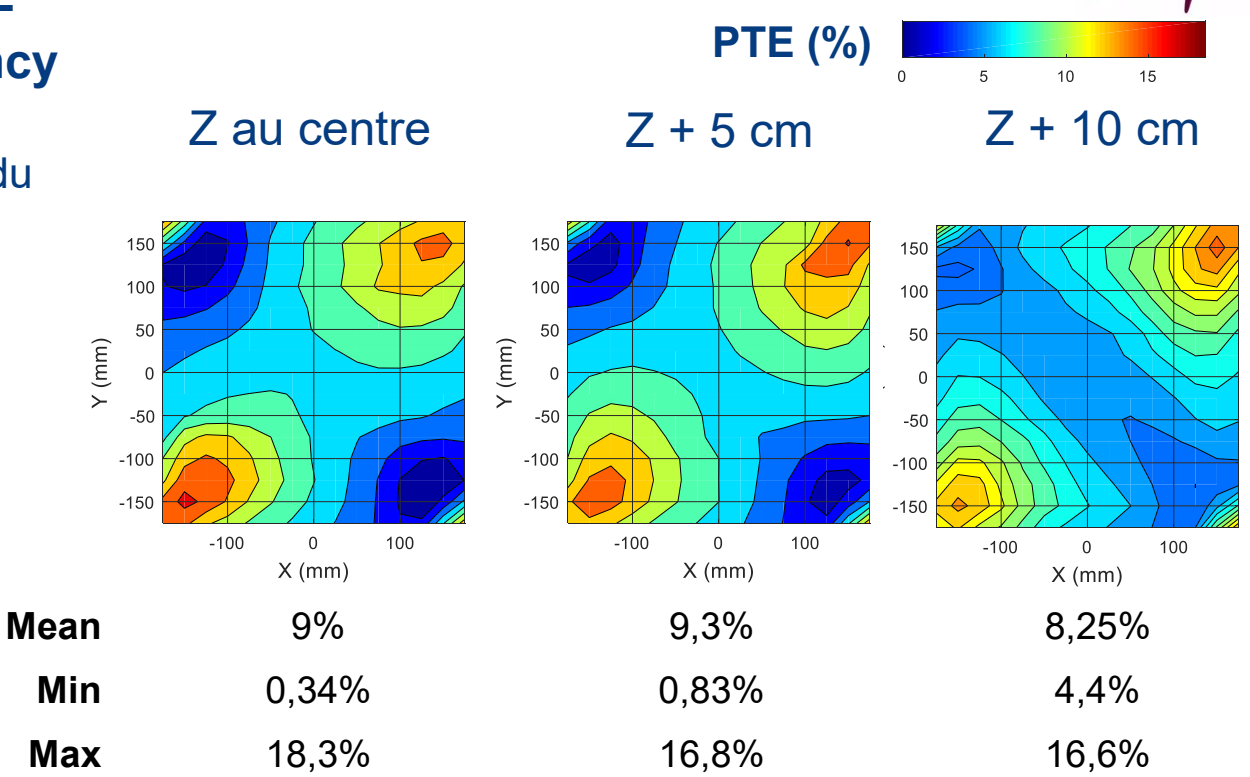


## 5. Résultats



### Mesure du rendement -Power Transfer Efficency (PTE):

- Rendement faible attendu
- PTE de la source à la charge d'environ 9%
- Points chauds et points froids





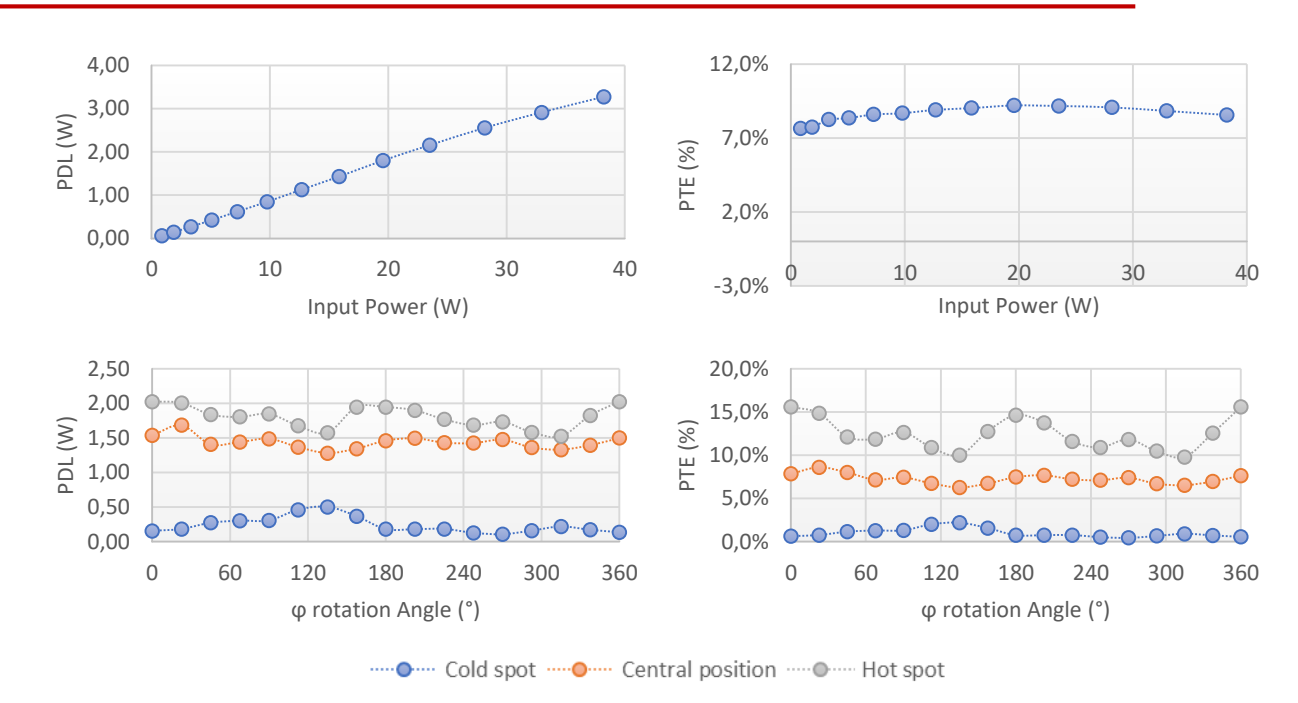
## 5. Résultats

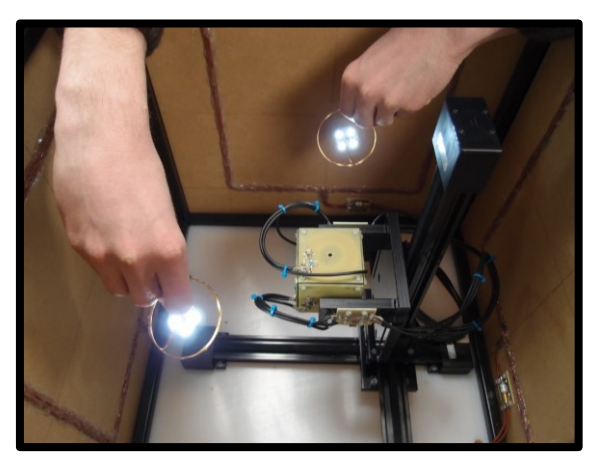
- La puissance en sortie peut atteindre plus de 3W (limité par des échauffements)
- Le récepteur est insensible à la rotation



 Fonctionne avec plus d'un récepteur







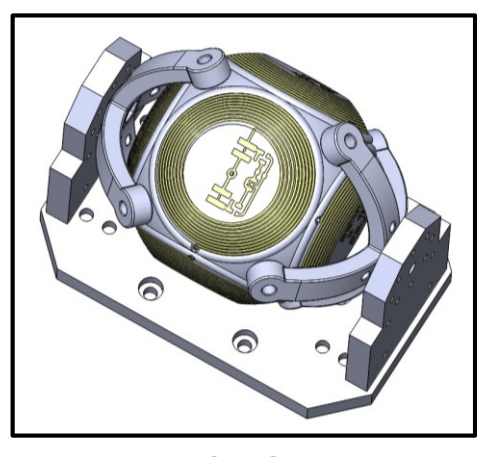


## 6. Perspectives avec la 3D-MID

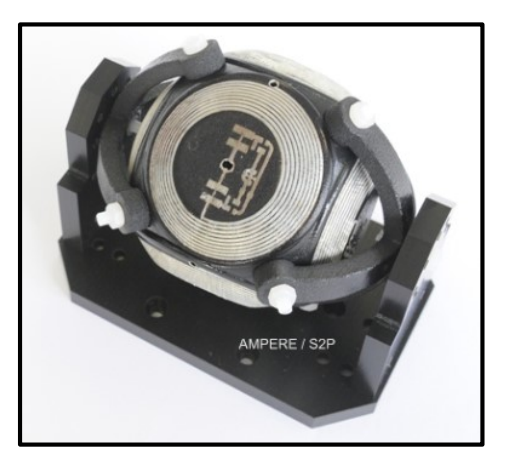


#### D'autres récepteurs en 3D-MID sont étudiés

- Sphère avec 6 inductances de 5,3 µH avec Q=103
- Inductances fabriquées en 3D-MID par procédé LDS + életrodéposition de 100µm de cuivre
- Pas encore testé
- Simulation: 4 Watt de puissance en sortie avec un rendement moyen de 15%







Réalisation



## 6. Conclusion



- Association des technologies 3D-MID + WPT
- Résultats préliminaires: liberté de mouvement augmenté, omnidirectionalité du récepteur, 3 Watts à 9%
- Beaucoup d'améliorations sont possibles (uniformité, gestion de la puissance envoyée, récepteurs multiples,...)
- Le design 3D offre beaucoup de possibilité pour la WPT
- La 3D-MID et les technologies plastroniques peuvent permettre de fabriquer des inductances 3D avec des formes compliquées.

#### **Publications:**

- Kamotesov Sergkei, and al. "Omnidirectional inductive wireless charging of a 3D receiver cube inside a box." Wireless Power Transfer Conference (WPTC), 2018 IEEE.
- Kamotesov Sergkei, and al. "The Potential of 3D-MID Technology for Omnidirectional Inductive Wireless Power Transfer." Molded Interconnect Devices (MID), 2018 13th International Congress. IEEE, 2018.





## Merci pour votre attention



## Questions?

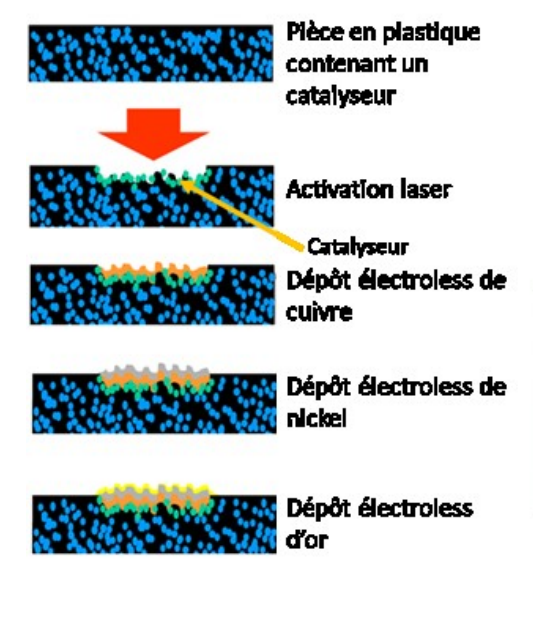
#### Remerciements

- La Société S2P et le laboratoire Ampère
- Mes encadrants à Ampère: M. Cabrera, V. Semet et P. Lombard
- Mes encadrants à S2P: M. Moguedet, A. Veille
- B. Allard et C. Martin du laboratoire Ampère





## Procédé LDS

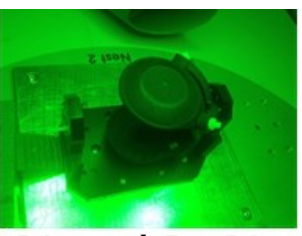




Pièce fabriqué par frittage de poudre



Dépôt électroless de culvre



Peint avec du ProtoPaint et avant activation laser



Electrodéposition de culvre



Pièce après activation



Plèce après étamage à froid